

حذف کاتالیستی NO_x در موتورهای احتراق داخلی با استفاده از نانو کاتالیست $\text{Pt-Rh} / \gamma\text{-Al}_2\text{O}_3$

شهرام قنبری پاکدهی^۱, فاطمه اوشنی^۲, سجاد رضائی^۲

دانشگاه صنعتی مالک اشتر، مجتمع دانشگاهی مواد و فناوریهای ساخت، مرکز تحقیقات مهندسی شیمی
sh350@yahoo.com

چکیده

احتراق سوختهای فسیلی منجر به تولید و انتشار گازهای آلاینده محیط زیست می‌گردد. این گازها مضرات فراوانی برای انسان و محیط زیست دارند. یکی از محصولات احتراق در موتورهای احتراقی، اکسیدهای نیتروژن می‌باشند که به NO_x معروف هستند. در این مقاله، روشی نوین برای حذف NO_x حاصله از خودروها ارائه شده است. بر اساس این روش، تجزیه NO_x با بکاربردن کاتالیست فلزات واسطه در دیواره محفظه احتراق انجام می‌گیرد و به دلیل هزینه بالای کاتالیست، مقدار کمی از کاتالیست با نانوسایز کردن استفاده می‌شود. نتایج، کاهش گازهای آلاینده در شروع به کار موتور را نشان می‌دهد. همچنین تکنیک جدیدی برای بکاربردن نانوکاتالیست در دیواره محفظه احتراق ارائه شده است.

کلمات کلیدی : NO_x - موتور احتراق - نانوکاتالیست - تبدیل کاتالیستی - نانو کاتالیست . Pt/Rh

- ۱ - مقدمه

اکسیدهای نیتروژن (NO_x) یکی از مهمترین آلاینده‌های حاصل از احتراق در موتورهای احتراقی می‌باشند. مضرات تولید و انتشار این مواد برای انسان و محیط زیست عبارتند از [۱-۳] :

- ایجاد سرطان، امراض قلبی و ریوی، برونشیت، آسم و کاهش عمر متوسط
- باران‌های اسیدی و دود فتو شیمیایی
- گرم شدن زمین (اثر گلخانه‌ای)

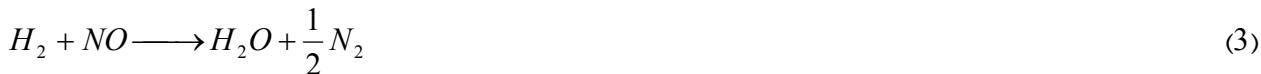
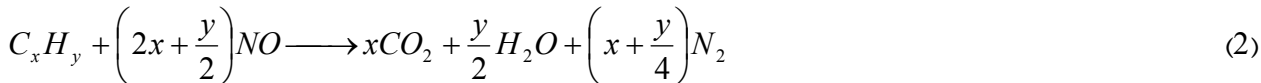
اکسیدهای نیتروژن در فرآیندهای متفاوتی از قبیل کوره‌ها، نیروگاه‌های برق و به ویژه خودروها تولید می‌گردند. حذف NO_x توسط تبدیل کننده‌های کاتالیستی در اتموبیل‌ها در گزارشات متعددی آورده شده است. در این تبدیل کننده‌ها، NO_x به N_2 و O_2 تبدیل می‌گردد. این سیستم از کاتالیست احیا کننده گزینش پذیر (SCR) استفاده می‌نماید که کاتالیست مذکور از عوامل احیاکننده ای مانند آمونیاک یا اوره استفاده می‌کند تا NO_x را در اتمسفر غنی از اکسیژن احیا نماید [۴].

کاتالیست‌های متداول، فلزات نجیب مانند نقره (Ag)، پلاتین (Pt)، پالادیم (Pd)، رو دیوم (Rh)، گالیم (Ga)، روتینیم (Ru)، اکسید سریم (CeO_2) یا مخلوطی از آن‌ها هستند. در میان آن‌ها، Pt یا Rh به دلیل کارایی بالا و تحمل دمای بالا به طور گسترده‌ای استفاده می‌شوند [۴]. واکنشهای زیر در گاز‌های خروجی از موتور احتراق در اثر تماس موثر با کاتالیست مذکور صورت می‌گیرند [۵-۶]:

- دکترا مهندسی شیمی
- دانشجوی کارشناسی صنایع شیمیایی

واکنش کاهاش

پلاتین و روديم کمک به کاهش انتشار NO_x می نمایند. هنگامی که مولکولهای NO یا NO_2 با کاتالیست تماس پیدا می کنند، کاتالیست اتم نیتروژن را از اکسیژن جدا کرده و نگه می دارد و اکسیژن را به صورت O_2 آزاد می کند. اتم های نیتروژن به دیگر اتم های نیتروژن که به سطح کاتالیست چسبیده اند متصل شده و N_2 تشکیل می گردد.



واکنش اکسایش

در این واکنش هيدروکربن های نسوخته و مونو اکسید کربن بوسيله اکسیداسيون ببروي پلاتين و پالاديوم احياء می شوند. اين کاتالیست به واکنش CO و هيدروکربن ها با اکسیژن باقی مانده در گازهای خروجی کمک می کند.



امروزه اين نوع کاتالیستها در خروجی از محفظه احتراق و در دستگاهی بنام مبدل کاتالیستی (Catalytic converter) بکاربرده شده اند. استفاده از اين نوع کاتالیستها دارای مشکلاتی نظیر شروع سرد موتور (Cold start)، سینتر شدن کاتالیست در دماهای بالا و مسمومیت آن می باشد. با مطالعات صورت گرفته معلوم شده است که استفاده از کاتالیست در داخل محفظه احتراق (در داخل سیلندر)، مشکلات فوق را مرتفع ساخته که در نهایت منجر به کاهش مصرف سوخت و افزایش عمر موتور می گردد [7-8]. نظر به گرانقیمت بودن کاتالیست مذکور، نانوسایز نمودن این کاتالیست باعث کاهش هزینه ها می شود.

در اين مقاله ابتدا نانو کاتالیست Pt-Rh بر روی پایه $\gamma\text{-Al}_2\text{O}_3$ به روش میکرو امولسیون تهیه شده و سپس بر روی محفظه احتراق با روش رسوب سازی بخار شیمیایی نشانده شد. فرآیند رسوب سازی بخار شیمیایی آلی-فلزات³ به شدت در صنایع به دلیل توانایی در ایجاد نانو سطوح مورد توجه می باشد. رسوب سازی بخار شیمیایی فلزات گروه پلاتین بدیل مزیت های فراوان بسیار جذاب می باشد. همچنین اثر نانو سایز شدن کاتالیست مذکور بر روی راندمان تبدیل NO_x مطالعه شد.

2- بخش تجربی

2-1- تولید نانو کاتالیزور به روش میکرو امولسیون

نانو کاتالیست Pt-Rh با استفاده از روش میکرو امولسیون به ترتیب زیر تهیه شد [9]. در این روش میکرو امولسیون آب در روغن، از محلول H_2PtCl_6 , RhCl_3 , پلی اکسی اتیلن⁴ ($n=15$), ستیل اتر⁵ ($\text{C}-15$) و سیکلو هگزان آماده شد. نسبت مولی C-15 به اتم Pt-Rh به طور ثابت 118 نگه داشته شد. سپس محلول آمونیاک (23 mol l^{-1}) به میکرو امولسیون $\text{NH}_3/\text{Pt-Rh}=3$ اضافه شد تا نانوذرات Pt-Rh تشکیل شوند. مقدار محلول NH_3 اضافه شده به میکرو امولسیون به نسبت مولی

³ Metal-organic chemical vapor deposition (MOCVD)

⁴ polyoxyethylene

⁵ cethyl ether

می باشد. نسبت مولی Pt-Rh به اتم های $\gamma\text{-Al}_2\text{O}_3$ از 91 تا 9 برای آماده سازی کاتالیست Pt-Rh بر روی $\gamma\text{-Al}_2\text{O}_3$ با مقادیر متفاوت Pt-Rh تعییر می کند. مقدار آمونیاک اضافه شده به میکرو امولسیون به نسبت مولی $(\text{C-15})/\text{H}_2\text{O}=23$ می باشد. رسوب با سه مرتبه شستشو توسط 2-پروپانول و خشک کردن در دمای حدودا 353K به مدت 12 ساعت بدست آمد. نمونه خشک شده با هوا، به مدت 2hr در 623K گلسانیه شد. به منظور خارج کردن گونه های Pt-Rh که با $\gamma\text{-Al}_2\text{O}_3$ پوشیده نشده، نمونه با مخلوطی از اسید نیتریک و کلریدریک در دمای اتاق به مدت 1 hr (سه مرتبه) شستشو داده شدند. با این روش، تهیه نانوذرات و اکسیدهای فلزات گوناگونی مانند Fe_3O_4 , Ni , Co , Pt , Rh میسر می باشد. تصاویر TEM از کاتالیست با JEM-200CX (200 kV) تهیه شده است. توزیع اندازه خلل و فرج $\gamma\text{-Al}_2\text{O}_3$ در کاتالیست Pt-Rh با جذب آرگون در دمای 87 K تعیین شد.

2-2- نحوه نشاندن کاتالیست بر روی محفظه احتراق

کمپلکس های هگزا فلورو استیل استونات^۶ $\text{Pt}(\text{hfac})_2$ و $\text{Rh}(\text{hfac})(\text{C}_2\text{H}_4)_2$ به عنوان پیش ماده برای رسوب سازی بخار شیمیایی لایه های نازک Pt و Rh بکار بوده شد. در دماهای پایین جذب بخش های $\text{Rh}(\text{hfac})$ در چندین طریقه نسبت به سطح جهت دار شد. گرم کردن سطح بالای 100K سبب شد تا لیگاندهای hfac در یک ردیف به صورت ستونی نسبت به سطح باز چیده شوند. این جهت گیری با احیا پلاتین همراه می باشد. انتقال لیگاندها از کمپلکس ها به سطح در دمای 220K کامل شد. با بالا رفتن دما پیوند لیگاندهای hfac -سطح بیشتر تعییر شکل داد [10].

3-2- سیستم مورد استفاده برای ارزیابی نانو کاتالیستها

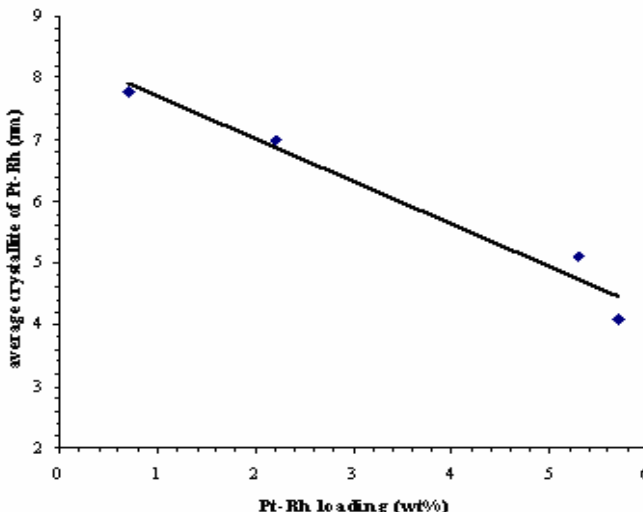
سیستم مورد استفاده، راکتور لوله ای است که با روش CVD، نانو کاتالیست $\text{Pt-Rh}/\gamma\text{-Al}_2\text{O}_3$ درون آن نشانده شده است و این لوله در یک کوره با دمای 1200°C قرار دارد، که با گذراندن محصولات احتراق ناشی از سوخت یک ترکیب نظیر هپتان نرمال از درون لوله اثر اندازه ذرات بر میزان تبدیل NO_x بررسی شده است. طول لوله 15cm و قطر آن 5cm است که خروجی از این لوله به یک دستگاه GC کالیبره شده مجهر به دتکتور Perkin-Elmer 8420 TCD متصل است.

3- نتایج بحث

1-3- نتایج حاصل از تعیین مشخصه کاتالیست

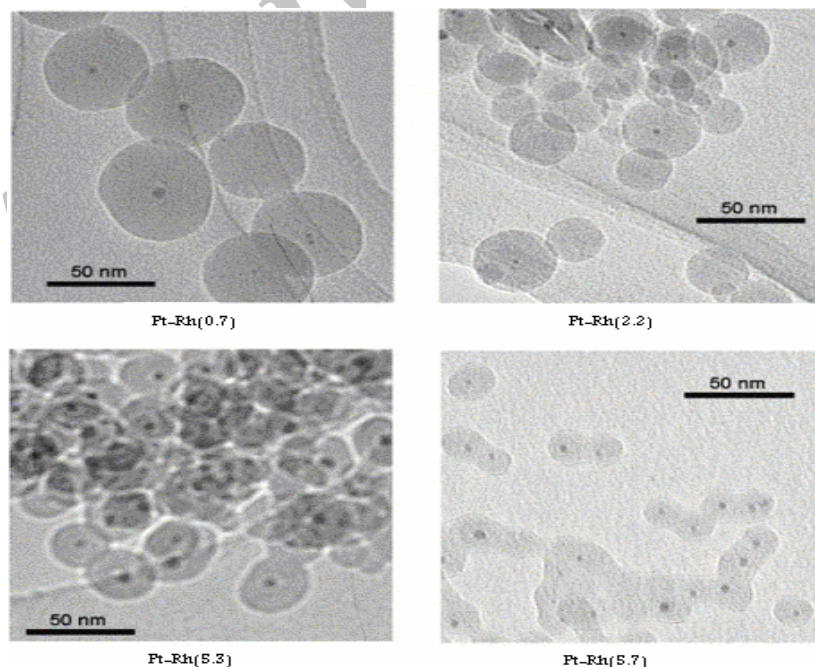
کاتالیست Pt-Rh با مقادیر متفاوت Pt-Rh بوسیله تعییر نسبت مولی $\gamma\text{-Al}_2\text{O}_3$ به 6 و RhCl_3 و H_2PtCl_6 در میکرو امولسیون تهیه شد. میانگین اندازه کریستال فلز Pt همانطور که در شکل(1) نشان داده شده است با تعییر مقدار کاتالیست Rh و Pt از 0.7 تا 5.7wt% تعییر چندانی نمی نماید. میانگین اندازه کریستال Pt-Rh در کاتالیست در حدود 6nm نگه داشته شد. نتایج نشان می دهد که تهیه کاتالیست Pt-Rh با روش میکرو امولسیون منجر به تولید کریستال فلز Pt-Rh با متوسط اندازه حدودا 6nm می شود، که حتی مقادیر Pt-Rh به طور قابل توجهی بر آن موثر نخواهد بود.

⁶ hexafluoroacetylacetone



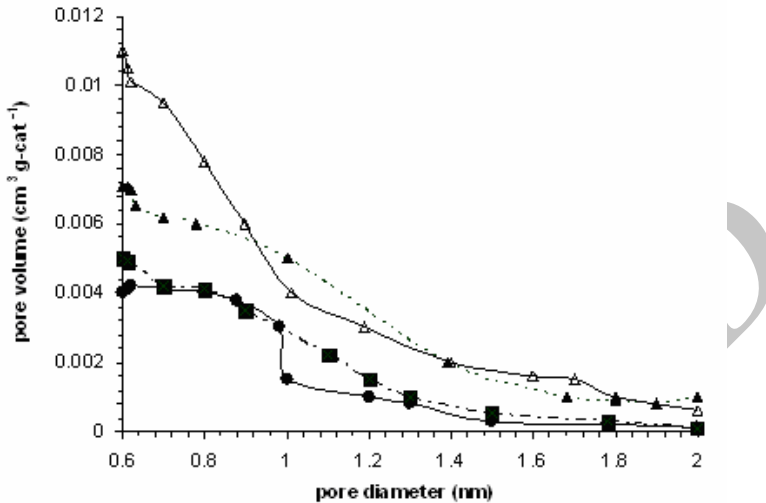
شکل 1 : تغییر متوسط اندازه ذرات کریستالی فلز Pt-Rh در کاتالیست با مقادیر متفاوت Pt-Rh

تصاویر TEM از کاتالیست Pt-Rh با مقادیر متفاوت Pt-Rh در شکل(2) نشان داده شده است. در تصاویر TEM برای تمام کاتالیست ها، ذرات کروی با قطر (20-40nm) و نقاط تیره تر با قطر(5-20nm) قابل مشاهده می باشد. متوسط قطر ذرات فلز Pt-Rh و ضخامت لایه های $\gamma\text{-Al}_2\text{O}_3$ در هر یک از کاتالیست های Pt-Rh در تصاویر Pt-Rh TEM، 4 و 25nm برای کاتالیست Pt-Rh(0.7)، 5 و 17nm برای کاتالیست Pt-Rh(2.2)، 5 و 13nm برای کاتالیست Pt-Rh(5.3) و 5nm برای کاتالیست Pt-Rh(5.7) ارزیابی شده است (اعداد داخل پرانتز مقادیر درصد وزنی Pt-Rh می باشند). بعلاوه تصاویر TEM نشان می دهد که ذرات فلز Pt-Rh در کاتالیست به صورت تک لایه پراکنده شده اند. از این نتایج می توان استنتاج کرد که ذرات فلز Pt-Rh با قطر 5nm می توانند به صورت یکنواخت با لایه هایی از $\gamma\text{-Al}_2\text{O}_3$ در ضخامت های متفاوت، با استفاده از روش میکرو امولسیون تهیه شوند.



شکل 2 : تصاویر TEM از کاتالیست Pt-Rh با مقادیر متفاوت

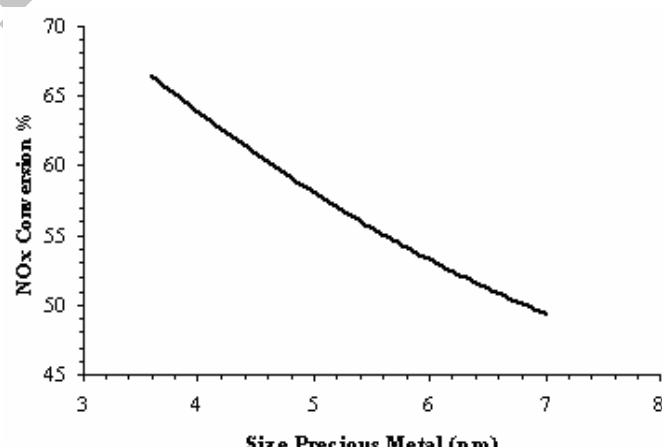
توزیع اندازه خلل و فرج کاتالیست Pt-Rh در شکل(3) نشان داده شده است. در تمامی کاتالیست ها میکرو خلل و فرج ها با قطر کمتر از 2nm قابل مشاهده است. توزیع اندازه خلل و فرج به مقدار Pt-Rh در کاتالیست وابسته می باشد یعنی ساختار خلل و فرج به تدریج با افزایش مقدار Pt-Rh بزرگ می شود. در کاتالیست با مقدار 5.3 و 5.7 wt% کسری از میکرو خلل و فرج ها با قطر کمتر از 1nm، به طور قابل توجهی افزایش می یابند، مقادیر Pt-Rh با 0.7, 2.2, 5.3, 5.7wt% در شکل(3) مقایسه شده است.



شکل 3 : توزیع اندازه خلل و فرج در کاتالیست Pt-Rh با مقادیر متفاوت .
کاتالیست با [●] (0.7)، [○] (2.2)، [■] (5.3)، [△] (5.7).

2-3- اثر سایز نانو کاتالیست $\text{Pt-Rh}/\gamma\text{-Al}_2\text{O}_3$ بر راندمان تبدیل NO_x

همانطورکه در شکل(4) قابل مشاهده است هر چه اندازه ذرات نانو کاتالیست مذکور بیشتر شود راندمان تبدیل NO_x کاهش می یابد. بطوريکه دیده می شود به ازای 3nm افزایش در سایز نانو کاتالیست، 15٪ راندمان تبدیل NO_x کاهش می یابد. دلیل این امر این است که وقتی سایز نانو کاتالیست کاهش می یابد میزان سطح در دسترس و قابل ارائه برای تبدیل NO_x افزایش می یابد. از اینرو سایت های فعال کاتالیست افزایش می یابد. از منظر دیگری می توان به این مسئله نگریست که هر چه دمای واکنش بالاتر رود، ذرات فعل نانو کاتالیست بیشتر به همدیگر چسبیده (سینتر شده) و مقدار سطح در دسترس کاهش یافته و در نتیجه راندمان واکنش تبدیل NO_x کاهش می یابد.



شکل 4 : تغییرات درصد تبدیل NO_x با اندازه فلزات Pt و Rh

4- نتیجه گیری

یک روش مناسب کاهش NO_x حاصل از احتراق در موتورهای احتراق داخلی، استفاده از احتراق کاتالیستی می باشد. برای این منظور از کاتالیست $\text{Pt-Rh}/\gamma\text{-Al}_2\text{O}_3$ استفاده شد. کاتالیست مذکور با روش میکرو امولسیون تولید شده و با روش TEM تعیین مشخصه شد. سپس با روش رسوب سازی بخار شیمیایی در محفظه احتراق نشانده شد. نتایج نانو سایز کردن کاتالیست حاکی از این موضوع می باشد که، با کاهش اندازه کاتالیست درصد تبدیل NO_x افزایش می یابد.

مراجع

- [1] Kampa, M., and Castanas, E., Environmental Pollution, In Press, Corrected Proof, Available online, 2007.
- [2] A.Hungate, B., Carbon Dioxide and Environmental Stress, pp. 265-285, 1999.
- [3] Uliasz, B.A., and Mokrzycki, E., Energy, Vol. 32, pp. 2370-2375, 2007.
- [4] Ganbari, P.S., Oshani, F., Rezaei, S., International Autumn Seminar on Propellants, Explosives and Pyrotechnics, 23-26 October, 2007.
- [5] Koltsakis, G.C., Prog. A.M., Energy Combust,Vol. 23, pp. 1, 1997.
- [6] Heck, R.M., Farrauto, R.J., Appl. Catal. A, Vol. 221, pp. 443, 2001.
- [7] رضائی، س. نشاندن و نانو سایز کردن کاتالیست های احتراقی، پایان نامه کارشناسی صنایع شیمیایی، دانشکده علوم پایه، دانشگاه شهید رجائی، 1386.
- [8] اوشنی، ف. بررسی کاتالیست های حذف NO_x در موتورهای احتراق، پایان نامه کارشناسی صنایع شیمیایی، دانشکده علوم پایه، دانشگاه شهید رجائی، 1386.
- [9] Hori, K., Matsune, H., Takenaka, S., and Kishida, M., Science and Technology of Advanced Materials, Vol 7, pp 678-684, 2006.
- [10] L.Crane, E., You, Y., G. Nuzzo, R., and S.Girolami, G., J. Am. Chem. Soc,Vol 122, pp 3422-3435, 2000.